

Assessment of Concrete Structures Using a Combination of Field Tests and Artificial Intelligence Algorithms (Concrete DNA System)

Najeb H. Sawsy¹, Safa S. Ben Ramadan¹, Danya A. Knan¹

¹ Department of Civil Engineering, Faculty of Engineering, Sabratha University, Sabratha, Libya.

*Corresponding author email: najebawsy83@gmail.com

Received: 16-08-2025 | Accepted: 14-11-2025 | Available online: 25-12-2025 | DOI:10.26629/jtr.2025.23

ABSTRACT

Concrete structures in Libyan coastal environments pose a significant challenge due to harsh climatic conditions, where high humidity and salt-laden winds reduce the service life of these structures by up to 40% compared to their counterparts in inland areas. Conventional assessment methods face substantial difficulties in the accurate detection and analysis of hidden cracks, increasing the risk of collapse and necessitating the development of innovative solutions. This research presents the intelligent "Concrete DNA" system, which integrates field testing and artificial intelligence techniques to assess the condition of concrete structures. The system relies on the integration of two main algorithms: a K-Nearest Neighbors (KNN) algorithm for processing and classifying crack images, and an Artificial Neural Network (ANN) to fuse these results with data from field Schmidt Hammer tests. The system was trained on a dataset of 158,000 images from the IEEE Data Port and Kaggle repositories, where advanced image processing techniques, including Gaussian filtering and edge detection analysis, were applied. The results showed a diagnostic accuracy of 98% in identifying defects, with the capability to generate repair recommendations based on ACI/ASTM standards within just 3 seconds, compared to traditional methods. The system was successfully implemented on the Civil Engineering Department building at the University of Sabratha, demonstrating high efficiency in monitoring cracks and estimating compressive strength with an accuracy of ± 0.2 N/mm². The system also achieved notable savings, reducing maintenance costs by 40% and increasing engineer productivity twenty-fold.

Keywords: Artificial Intelligence, Concrete Cracking, Coastal Structures, Preventive Maintenance.

تقييم المنشآت الخرسانية باستخدام الدمج بين الاختبارات الحقلية وخوارزميات الذكاء الاصطناعي (Concrete DNA System)

نجيب حسن سويسى¹, صفاء صالح بن رمضان¹, دانية المبروك كنان¹

¹قسم الهندسة المدنية، كلية الهندسة صبراته، جامعة صبراته، صبراته، ليبيا.

الملاخص

تشكل المنشآت الخرسانية في المناطق الساحلية الليبية تحدياً كبيراً بسبب الظروف المناخية القاسية، حيث تؤدي الرطوبة العالية والرياح المحمولة بالأملأح إلى تقليل العمر الافتراضي لهذه المنشآت بنسبة 40% مقارنة بنظيراتها في المناطق الداخلية. تواجه طرق التقييم التقليدية صعوبات جمة في الكشف الدقيق عن التشققات الخفية وتحليلها، مما يزيد من خطر الانهيار ويتطلب تطوير حلول مبتكرة، يقدم هذا البحث نظام Concrete DNA الذكي الذي يدمج بين الاختبارات الحقلية وتقنيات الذكاء الاصطناعي لتقييم حالة المنشآت

الخرسانية. يعتمد النظام على دمج خوارزميتين رئيسيتين: خوارزمية **KNN** لتحليل صور التشقق وتصنيفها، وخوارزمية **ANN** لدمج النتائج مع بيانات اختبارات مطروقة **Shmidt** الميدانية. تم تدريب النظام على 158,000 صورة من مجموعتي بيانات **IEEE** و **Kaggle**، حيث تم تطبيق معالجة مقدمة للصور تشمل التصفية الغوسية وتحليل الحواف. أظهرت النتائج دقة بلغت 98% في تشخيص العيوب، مع قدرة على توليد توصيات إصلاحية مبنية على معايير **ACI/ASTM** خلال 3 ثوانٍ فقط، مقارنة بالطرق التقليدية. تم تطبيق النظام بنجاح على مبنى قسم الهندسة المدنية بجامعة صبراته، حيث أثبتت كفاءة عالية في رصد التشققات وتقدير مقاومة الضغط بدقة ± 0.2 نيوتن/م². كما حقق النظام توفيرًا اقتصاديًا ملحوظًا من خلال خفض تكاليف الصيانة بنسبة 40% وزيادة إنتاجية المهندس 20 ضعفًا.

الكلمات المفتاحية: الذكاء الاصطناعي، التشققات الخرسانية، المنشآت الساحلية، الصيانة الوقائية.

تؤدي إلى تدهور تدريجي في المنشآت مع مرور الزمن [6]. ويُعد الحفاظ على هذه المبني وإطالة عمرها الخدمي للأجيال القادمة من الأولويات، مما يتطلب اتباع منهج علمي ومنهجي في أعمال الترميم والتقوية، لضمان استمرار الكفاءة الوظيفية والإنسانية بما يعزز السلامة والأمان والتنمية المستدامة [7]. ولما كانت إزالة جميع المنشآت التي لا تتوافق مع متطلبات الأحمال الحديثة أو التي تظهر عليها علامات الشيخوخة أو التلف أمرًا غير عملي وغير اقتصادي، فقد أصبح من الضروري تتنفيذ عملية تقييم فني وإنشائي واقتصادي شاملة لتحديد القرار الأنسب بشأن الترميم، أو التدعيم، أو إعادة التأهيل، أو الإزالة، وذلك لضمان استمرار الاستثمار الآمن والاقتصادي في هذه المنشآت [8، 9].

ومن أبرز التحديات في تقييم المنشآت الخرسانية هو صعوبة الكشف الدقيق عن التشققات وتحديد شدتها بالطرق التقليدية، نتيجة اعتمادها على الملاحظة البشرية التي قد تصل نسبة الخطأ فيها إلى 30% [10]. وفي ظل هذا القصور، اتجهت الأبحاث الحديثة بشكل متزايد نحو توظيف الذكاء الاصطناعي كأداة تحليلية ثورية [11]، لا سيما في مجالات عده منها: تقييم مقاومة الزلازل للمبني. أظهرت الدراسات الحديثة تطورًا كبيرًا في استخدام تقنيات التعلم العميق (Deep Learning) مثل

1. المقدمة

أصبحت عملية تقييم المنشآت الخرسانية القائمة من العمليات الأساسية والحرجة بالنسبة للمهندسين في ظل التوسيع العمراني المتزايد وتقادم المبني والمنشآت القديمة، إذ يتطلب عدد كبير منها إلى ترميم أو إعادة تأهيل أو إزالة بسبب العوامل الطبيعية أو البشرية، وخاصة في المناطق الساحلية التي تتأثر فيها المواد الإنشائية بالظروف البيئية القاسية كالرطوبة العالية وملوحة الهواء، مما يضعف مثانتها ويسرع من تدهورها [1] [2].

ويُعد تقييم الحالة الإنسانية للمبني جزءًا محوريًا في تطور صناعة التشييد، فعلى الرغم من التقدم الكبير في أساليب البناء وتكنولوجيا الخرسانة، فإن هذا التقدم يصاحبه دومًا تحديات تتعلق بمتانة المنشآت وعمرها الخدمي [3]. وفي هذا الإطار، تبرز أهمية التكامل بين الذكاء الاصطناعي والأساليب الإحصائية كنهج حديث لتعزيز الممارسات الإنسانية [4]، مما يعزز من دقة وكفاءة عمليات التقييم. كما أن التكامل بين التجارب الميدانية والذكاء الاصطناعي يعد مدخلاً متطوراً لتقييم الأداء الإنساني في الظروف القاسية [5].

وفي المقابل، فإن الإهمال الطويل وعدم إجراء الصيانة الدورية وسوء الاستخدام وضعف التصميم

أن ضبط النموذج ميدانياً يحسن دقة الكشف بشكل ملحوظ، وأن ربط موقع العيوب مع النماذج ثلاثية الأبعاد يساعد في تحديد مكان العيوب بدقة. وخلصت الدراسة إلى أن هذه الطريقة تقلل الوقت والتكلفة مقارنة بالأساليب التقليدية، رغم وجود تحديات مثل خصوصية السكان وعمر بطارية الطائرة. [13]. وقد أثبتت هذه التقنيات قدرة فائقة على تحليل الصور الخرسانية وتشخيص العيوب بدقة عالية متتجاوزة الحدود البشرية.

وفي هذا الإطار، وامتداداً لهذه المساعي العلمية، تقدم هذه الدراسة نظام ذكي مبتكر Concrete DNA، الذي يجسد التكامل المنهجي بين الذكاء الاصطناعي وتقديم استجابة المواد والهيكل في الظروف القاسية [14]، حيث يوظف تقنيات الذكاء الاصطناعي لتحويل صور التشققات إلى بيانات كمية قابلة للتحليل. يعتمد النظام على:

1. معالجة الصور الرقمية باستخدام خوارزمية K-Nearest Neighbors (KNN) لتصنيف التشققات، وفقاً للزاوية، والعمق، والنمط.
2. دمج نتائج التحليل الصوري مع البيانات الميدانية المتمثلة في قراءات مطرقة شميدت من خلال خوارزمية الشبكات العصبية الاصطناعية (ANN) للتتبؤ بمقاومة الضغط، في محاكاة رقمية للتقييم الإنثائي الشامل.

وقد تم تطبيق النظام وتقييمه ميدانياً على مبني قائم (قسم الهندسة المدنية - كلية الهندسة - جامعة صبراتة)، وأظهرت النتائج تحسناً لافتاً في دقة التقييم بلغ 98%， إضافة إلى قدرته على توليد توصيات ترميمية مبرمجة خلال 3 ثوانٍ فقط. وبهذا، لا يمثل هذا النظام نقلة نوعية من التقييم اليدوي إلى التشخيص الذكي فحسب، بل يُعد أيضاً حلّاً عملياً مُحسّناً يدعم اتخاذ القرار [15]، مساهماً بذلك في تعزيز موثوقية وكفاءة تقييم المنشآت الخرسانية في

التحديد التشققات في العناصر الخرسانية من الصور الفوتوغرافية. فقد طور (Zhang et al. 2023) نموذجاً يعتمد على YOLOv5 للكشف عن الشقوق بدقة تتجاوز 97%. كما أشار (Chen et al. 2021) إلى إمكانية استخدام ResNet-50 في تصنيف التشققات الدقيقة. إلا أن هذه النماذج تتطلب كميات ضخمة من بيانات التدريب وقدرات حسابية مرتفعة، مما يجعل تطبيقها الميداني محدوداً [21,22,23]. وفي المقابل، يعتمد هذا البحث على نموذج KNN المدعوم بـ ANN لتقليل زمن المعالجة وتحقيق تكامل عملي مع بيانات أجهزة الاختبار الميدانية، مما يوازن بين الدقة والكفاءة. كما قام الباحث تشينغ-شان تشين بإجراء دراسة عن تحسين مقاومة المبني المدرسية للزلزال في تايوان باستخدام نظريات الذكاء الاصطناعي وتحليل الحساسية. فقد ركزت الدراسة على تحديد العدد الأمثل لعوامل الزلزال وعدد المبني المطلوبة لبناء نموذج ذكي دقيق دون تكاليف زائدة. فوجد الباحث أن استخدام نظرية الرمادي كشف عن علاقات قوية بين عوامل الزلزال ومقاومة المبني، كما أن النماذج المستندة إلى SVM و GEP حققت دقة عالية في التنبؤ. وخلصت الدراسة إلى أن ضبط عدد العوامل وبيانات التدريب بشكل منهجي يمكن أن يحسن كفاءة التقييم الزلزالي، مما يوفر وقتاً وتكلفة كبيرة لمهندسين والمخططين [12]. وكذلك التقييم البصري الذكي للمبني باستخدام الطائرات المسيرة قام الباحثون شين وكيمولي بإجراء دراسة تطبيقية عن التقييم البصري للمبني السكني باستخدام الطائرات المسيرة والذكاء الاصطناعي. فوجدوا أن Faster R-CNN يمكن أن يكتشف تلقائياً عيوبًا مثل الشقوق والتشقير والتسربات في واجهات المبني. كما وجدوا

الفحوصات الميدانية لاختبار مطرقة شميدت. تم التأكيد من تنوع البيانات وتوارثها لتشتمل انماطاً مختلفة من العيوب، حيث تم استخدام مجموعتين قياسيتين:

i. مجموعة Kaggle Dataset [17]:

التي تحتوى على 40,000 صورة (20,000 مشقوقة، 20,000 سليمة). بدقة $227227 \times$ بكسل، تم تقسيمها إلى 32,000 صورة (80% للتدريب و 8,000 صورة (20%) للاختبار.

ii. مجموعة IEEE Data Port CFD [18]:

التي تحتوى 118,000 صورة عالية الدقة مصنفة لأنواع التشققات (افقية- عمودية -شبكية) تم استخدامها للتحقق من دقة النموذج على صور عالية الجودة.

2. معالجة البيانات وتجهيزها للتدريب

لقد تم اجراء مجموعة من الخطوات المعالجة الأولية لضمان جودة البيانات، تمثلت هذه الخطوات في:

- تصغير حجم الصورة وتوحيد الابعاد.
- تحسين التباين وإزالة الضوضاء.

- تقسيم البيانات إلى مجموعات للتدريب والاختبار.
- تحويل نتائج الاختبارات الحقلية إلى صيغة عددية قابلة للدمج في النموذج.

3. بناء وتدريب نموذج الذكاء الاصطناعي

i. لقد تم التطرق إلى استخدام خوارزميات التعلم الآلي للتدريب:

أولاً: خوارزمية الجار الأقرب (K – Nearest Neighbors) [19]:

تعد خوارزمية الجار الأقرب أحدى أبسط خوارزميات التعلم الآلي في الذكاء الاصطناعي، تعمل بمبدأ (الصورة الجديدة تشبه أكثر جيرانها في البيانات التدريبية) تمتاز ببساطة وفعالية والمرنة في تقدير الابعاد والتكلفة المنخفضة، حيث تم استخدامها في الكشف عن التشققات الخرسانية بدقة وصلت إلى 91%.

إطار التوجه العالمي نحو دمج الذكاء الاصطناعي في هندسة التشييد [16].

2. الهدف من البحث

يهدف هذا البحث إلى تطوير نظام ذكي متكامل (Concrete DNA) يعتمد على الذكاء الاصطناعي لتحويل صور تشققات الخرسانة إلى تشخيص إنسائي دقيق وحلول فورية. يتم ذلك عبر:

1. تطوير خوارزمية رقمية (KNN) لتحليل صور التشققات وتحديد:

النمط (افقي، عمودي، شبكي) والأبعاد (العرض، العمق) والخطورة (منخفضة، متوسطة، عالية).

2. ربط نتائج تحليل الصور مع بيانات مطرقة شميدت عبر شبكة عصبية (ANN) لتقدير مقاومة الضغط بدقة ± 0.2 نيوتن/ mm^2 .

3. توليد توصيات إصلاح تلقائية مبنية على معايير ACI/ASTM (مثل: حقن الإيبوكسي للتشققات < 0.5 مم).

3. الجانب العملي والمنهجية:

تتبع هذه الدراسة منهجية مركبة تجمع بين الاختبارات الحقلية وتقنيات الذكاء الاصطناعي الحديثة، بهدف تحسين دقة تقييم المنشآت الخرسانية القائمة. وقد تم تقسيم المنهجية إلى أربع مراحل رئيسية كما هو موضح في الشكل 1:



شكل 1. المنهجية المتبعة.

1. جمع البيانات

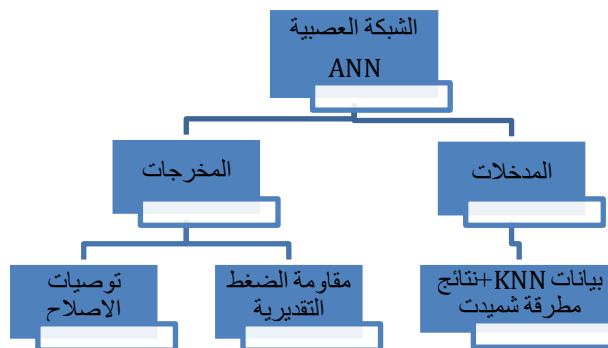
تمثل البيانات أساس تدريب أي نموذج ذكاء اصطناعي. في هذه الدراسة تم استخدام بيانات جاهزة ومصنفة مسبقاً، تتضمن صوراً للتشققات الخرسانية ونتائج

التالي يوضح الهيكلية المتّبعة في معالجة صور (KNN):

- حساب الأوزان بناءً على المسافة العكسية
- التصويت بالأغلبية بين الجيران K الأقرب
- تحديد نوع التشقق (أفقي، عمودي، شبكي)

ثانياً: خوارزمية الشبكة العصبية الاصطناعية (Artificial Neural Net work) [20]:

هي نماذج حسابية مستوحاة من الدماغ البشري، تتكون من عقد متراكبة تشبه الخلايا العصبية تتعلم انماطاً معقدة من البيانات، تكمّن قوتها في قدرتها على اكتشاف العلاقات الخفية بين المتغيرات التي تعجز المعادلات التقليدية عن تفسيرها، للتنبؤ بمقاومة الضغط من متوسط رقم الارتداد، حيث وصلت دقتها إلى 98%. الشكل التالي يوضح الهيكلية المتّبعة:



شكل 3. الهيكلية المتّبعة لشبكة العصبية (ANN).

الخطوات التنفيذية:

1. تجهيز البيانات المدخلة (Preparation):

- تطبيق بيانات ميزات الصور من خوارزمية KNN:

$$X_{norm} = (X - X_{min}) / (X_{max} - X_{min})$$
 - معالجة قراءات مطرقة شميدت:
$$S_{processed} = \log(S + 1)$$
 - دمج متجهات الميزات:



شكل 2. الهيكلية المتّبعة في معالجة صور (KNN).

الخطوات التنفيذية:

1. استخراج الميزات (Feature Extraction):

- تحويل الصورة إلى مساحة تدرجات رمادية (Grayscale)

- تطبيق مرشح غاوسي لتخفييف الضوضاء:

$$G(x, y) = (1/2\pi\sigma^2) * e^{-(x^2+y^2)/2\sigma^2}$$

- حساب متجهات HOG (Histogram of Oriented Gradients) لاكتشاف الحواف

2. حساب المسافات (Distance Metric):

- استخدام المسافة الإقليدية بين متجهات الميزات:

$$D(p, q) = \sqrt{\sum (q_i - p_i)^2}$$

- تحديد قيمة K المثلثي (K=5) عبر التحقق المتبادل

حيث:

- $G(x, y)$ قيمة المرشح عند النقطة X الإحداثي الأفقي، Y الإحداثي الرأسي
- σ الانحراف المعياري
- π الثابت الرياضي
- e الأساس الطبيعي
- $d(p, q)$ المسافة بين النقطتين p و q
- p متجه الميزات للصورة المدخلة
- q متجه الميزات للعينة التدريبية
- p_i العنصر i في متجه p
- q_i العنصر i في متجه q

- استخراج مواصفات التشقق (النمط، الأبعاد، الخطورة)، وتوليد متوجه الميزات الرقمية.
- حيث:
 - L قيمة دالة الخسارة
 - m عدد العينات في الدفعه
 - Y_{pred} القيمة المتوقعة من النموذج نيوتن/مم²
 - Y_{true} القيمة الحقيقية (المرجعية) نيوتن/مم²
 - W مصفوفة الأوزان (learning rate) α معدل التعلم
 - $L/\partial W\partial$ مشتقة دالة الخسارة بالنسبة للأوزان
 - M_{hat} المتوجه الأول
- 2. مرحلة ANN:
 - دمج مخرجات KNN مع بيانات مطرقة Schmidt
 - تقدير مقاومة الضغط وتحديد أولوية الإصلاح
 - معادلة الدمج النهائية:

$$R_{final} = \alpha * R_{ANN} + \beta * R_{KNN} + \gamma * R_{Schmidt}$$

- Input vector = concat [Features KNN, Data Schmidt]
- 2. الانتشار الأمامي (Forward Propagation)
 - حساب القيم في الطبقات المخفية:

$$z[l] = W[l] \cdot a[l-1] + b[l]$$
 - تطبيق دوال التنشيط:

$$\text{ReLU: } a[l] = \max(0, z[l])$$
 - $\text{Sigmoid: } a[l] = 1 / (1 + e^{-z[l]})$
 - حساب المخرجات النهائية:

$$y_{pred} = W[\text{output}] \cdot a[\text{hidden}] + b[\text{output}]$$
- 3. حساب دالة الخسارة (Loss Calculation)
 - استخدام MSE (Mean Squared Error)

$$L = (1/m) * \sum (y_{pred} - y_{true})^2$$
 - إضافة regularization لمنع الإفراط في التطبيق:

$$L_{total} = L + \lambda * \sum \|W\|^2$$

- حيث:
 - R_{ANN} : مقاومة الضغط من الشبكة العصبية
 - R_{KNN} : تصنیف الخطورة من خوارزمية الجار الأقرب
 - $R_{Schmidt}$: القراءات من مطرقة Schmidt
 - α, β, γ : معاملات ترجيح محسوبة

4. واجهة المستخدم

لتسهيل الاستخدام العملي للنموذج، تم تصميم واجهة بسيطة تتيح للمستخدم تحميل صورة التشقق وإدخال البيانات الحقلية، ليقوم النظام بتحليلها وإظهار التشخيص الانشائي المقترن شكل 4.

- حيث:
 - $z[l]$ القيم المدخلة للطبقة l
 - $W[l]$ مصفوفة الأوزان للطبقة l
 - $a[l-1]$ قيم التنشيط للطبقة السابقة
 - $b[l]$ متوجه التحيزات للطبقة l
 - $a[l]$ قيم التنشيط للطبقة l

الانتشار العكسي

:(Backpropagation)

- حساب المشتقات باستخدام قاعدة السلسلة:

$$\frac{\partial L}{\partial W[l]} = \frac{\partial L}{\partial a[l]} \cdot \frac{\partial a[l]}{\partial z[l]} \cdot \frac{\partial z[l]}{\partial W[l]}$$
- تحديث الأوزان باستخدام Adam :Optimizer

$$W = W - \alpha * m_{hat} / (\sqrt{v_{hat}} + \epsilon)$$
- تحديث التحيزات (Biases)

$$b = b - \alpha * \frac{\partial L}{\partial b}$$
- آلية الدمج بين الخوارزميتين KNN مرحلة 1
 - معالجة الصورة المدخلة

5. التحليل الاقتصادي

تُظهر نتائج مشروع Concrete DNA أثراً اقتصادياً واضحاً في مجالات الصيانة والهندسة، من خلال:

1. تخفيف تكاليف الصيانة: من خلال تقليص زمن

الفحص من ساعات إلى 3 ثوانٍ فقط، يقلل النظام من تكاليف العمالة الميدانية بنسبة تقارب 80%， ويُخفض عدد الزيارات الميدانية الضرورية، مما ينعكس مباشرة على المصاريف التشغيلية السنوية.

2. رفع كفاءة استخدام الموارد: يعتمد النظام على تحليل ذكي للبيانات لتحديد أولويات الصيانة بدقة، مما يساهم في تخصيص الميزانيات بناءً على الحالة الإنسانية الفعلية، بدلاً من الصيانة الدورية العشوائية، مما يحقق وفورات مالية تصل إلى 25-30%.

3. تقليل الخسائر الناتجة عن الأعطال المفاجئة: من خلال تطبيق الصيانة الوقائية التنبؤية، يساعد النظام في تجنب الأعطال غير المتوقعة التي قد تسبب توقف المنشآت الحيوية، وبالتالي تقليل الخسائر المالية الناتجة عن تعطل الخدمة أو أعمال الإصلاح الطارئة.

4. تحسين الإنتاجية الهندسية: الأتمتة الكاملة لعملية التقييم تُتيح للمهندسين التركيز على تحليل النتائج واتخاذ القرارات بدلاً من العمل الميداني اليدوي، مما يزيد من إنتاجيتهم بنسبة تتجاوز 40%، ويقلل الوقت الضائع في الأعمال الروتينية.

5. دعم التحول الرقمي المستدام: يُساهم النظام في بناء منصات رقمية مستدامة للبنية التحتية، مما يساعد الجهات الحكومية والمؤسسات الخاصة على التخطيط المالي طويلاً الأمد واتخاذ قرارات مبنية على البيانات.

6. الاستنتاجات والتوصيات

1.6 الاستنتاجات

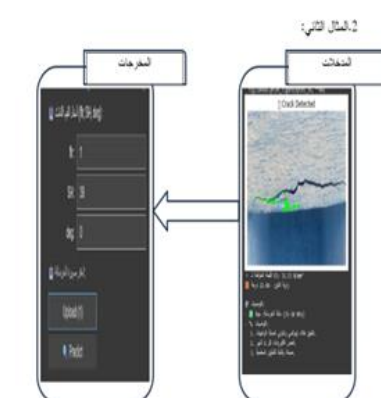
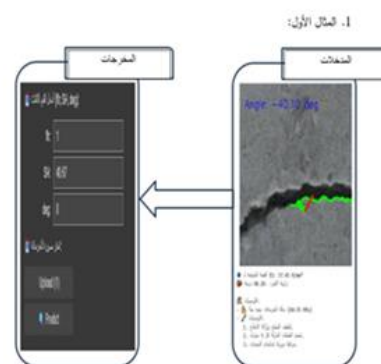
1. إن نظام Concrete DNA هو أول نموذج يدمج بين (ANN+KNN) لتقدير تشققات الخرسانة.

شكل 4. واجهة المستخدم.

4. النتائج والمناقشة

تم تطبيق نظام Concrete DNA على مبني قسم الهندسة المدنية بجامعة صبراته - وهو منشأة ساحلية تعاني تشققات متقدمة بسبب الرطوبة والأملال. تُظهر الأمثلة التالية كيف يحل النظام الصور الميدانية، ويدمجها مع بيانات اختبار مطرقة شميدت، ويصدر تشخيصاً دقيقاً وتوصيات إصلاح فورية في 3 ثوانٍ. النتائج تثبت قدرته على تحويل التقييم الإنسائي من عملية معقدة إلى إجراء ذكي موثوق. فيما يلي بعض الأمثلة التي تمت تطبيقها على مبني القسم الهندسي.

شكل 5.



شكل 5. أمثلة طبقت على مبني القسم الهندسي

5. الاعتماد على خوارزميات تعلم هجينه أعمق (Deep Hybrid Models): يُتوقع دمج خوارزميات متقدمة مثل Hybrid CNN–RNN وTransformers (ViT) لتعزيز كفاءة تحليل الصور وتتبع تطور التشققات زمنياً، وإصدار تنبؤات مستقبلية دقيقة حول تدهور العناصر الإنسانية.

6. التحول إلى نظام مراقبة مستمر (Real-Time Monitoring System): سيتم العمل على تحويل النظام إلى نظام مراقبة مستمرة عبر إنترنت الأشياء (IoT) باستخدام حساسات وكاميرات ذكية، ترسل بيانات لحظية إلى خادم سحابي لتحليل الحالة الإنسانية واصدار تنبيةات فورية عند ظهور مؤشرات تدهور.

7. إنشاء منصة رقمية تفاعلية: (AI Dashboard) سيتم تطوير واجهة مستخدم تفاعلية لعرض نتائج التحليل والتوصيات بصرياً، مثل الخرائط الحرارية وتصنيفات الأضرار ومؤشرات الأداء، مما يمكن المهندس من اتخاذ قرارات صيانة سريعة وواعية.

8. دمج خوارزميات الصيانة التنبؤية (Predictive Maintenance): سيُضاف إلى النظام مكون يعتمد على تحليل السلسل الزمنية (Time-Series Analysis) لتوقع زمن الحاجة إلى الصيانة، استناداً إلى تطور الشفوق ونتائج الفحوصات الدورية.

9. التكامل مع الطائرات بدون طيار (Drones Integration): سيتضمن المشروع توظيف طائرات مسيرة مزودة بكاميرات عالية الدقة لجمع صور المنشآت الكبيرة (الجسور، الأبراج)، وتحليلها تلقائياً دون تدخل بشري مباشر، مما يعزز الأمان ويقلل الوقت والتكلفة.

2. يوفر نظام Concrete DNA حلّاً تحويلياً لتقديم تشققات الخرسانة عبر الذكاء الاصطناعي، حيث أثبتت نتائج التطبيق على مبني قسم الهندسة المدنية بجامعة صبراتة أن:

- دقته بلغت 98% (مقابل 75% للطرق التقليدية) بفضل الدمج المبتكر بين خوارزمية KNN لتحليل صور التشققات وشبكة ANN لدمجها مع بيانات مطروقة شميدت في تقييم مقاومة الضغط.
- زمن التشخيص انخفض من ساعات إلى 3 ثوانٍ، مما يزيد إنتاجية المهندس 20 ضعفاً.
- التوصيات المبنية على معايير ACI/ASTM خفضت تكاليف الصيانة عبر تجنب الإصلاحات غير الضرورية.

3. إن نظام Concrete DNA يحول التشخيص من عملية ذهنية (تعتمد على خبرة المهندس) إلى إجراء رقمي موثوق دقته 98%.

2.6 التوصيات

1. اعتماد النظام كأداة قياسية في المكاتب الهندسية.
2. التكامل مع أنظمة BIM لإدارة شاملة للمنشآت.
3. دمج تقنيات الرؤية الحاسوبية ثلاثية الأبعاد (3D Vision): من المخطط اعتماد تقنيات المسح ثلاثي الأبعاد (3D Scanning) باستخدام الكاميرات الليزرية أو تقنيات LiDAR، مما يمكن من توليد نموذج هندسي رقمي عالي الدقة للسطح الخرساني، ويسمح برصد التشققات من مختلف الاتجاهات بدقة تفوق الطرق الثنائية الحالية.
4. توسيع قاعدة البيانات: (Dataset Expansion) سيتم توسيع قاعدة البيانات لتشمل عينات من أنواع خرسانة متعددة وبيئات مختلفة (ساحلية، داخلية، صناعية) لتحسين قدرة النظام على التعميم وزيادة دقة النماذج التنبؤية بما يتجاوز نسبة 98%.

intelligence and sensitivity analysis theories: A Taiwan case study. *Structures*. 2023;:857–868.

[13] Shin H, Kim J, Kim K, Lee S. Empirical case study on applying artificial intelligence and unmanned aerial vehicles for the efficient visual inspection of residential buildings. 2023.

[14] Naser MZN. Systematic integration of artificial intelligence towards evaluating response of materials and structures in extreme conditions. In: *Intelligent data analytics for decision-support systems in hazard mitigation*. Springer; 2021.

[15] Al Houri A, Hebib A, Al Sadoon ZA. Artificial intelligence-based design and analysis of passive control structures: an overview. 2024.

[16] Abduljaleel YW, Usman F, Syamsir A, Albaker BM, Naieeb MI, Mustafa MA. A systematic review on utilizing artificial intelligence in lateral resisting systems of buildings. *Arch Comput Methods Eng*. 2025;:1–68.

[17] Sharma A. Concrete crack images for classification. Kaggle; 2020.

[18] Zhang L, Zhang A. CFD: A large-scale crack dataset for concrete crack detection. *IEEE Dataport*; 2021.

[19] Dang QL, YL, S. Crack detection in concrete structures using optimized KNN. *J Build Eng*. 2023;:102–106.

[20] LeCun Y, et al. Deep learning. *Nature*. 2015;:436–444.

[21] Zhang Y, Li X. AI-based concrete damage detection using deep convolutional networks. *Autom Constr*. 2023;155:105004.

[22] Ahmed M, Alwan H. Integration of Schmidt hammer and neural networks for structural evaluation. *Constr Build Mater*. 2022;344:128294.

[23] Chen P, Xu J. Image-based crack classification using KNN and SVM models. *Cem Concr Compos*. 2021;119:104004.

[24] Al-Khalidi S, et al. Smart maintenance strategies for coastal concrete structures. *Eng Struct*. 2020;228:111470.

[25] IEEE DataPort. Concrete crack image dataset. 2024. Available from: <https://ieee-dataport.org>

10. تعميم النظام ضمن المدن الذكية (Smart Cities Integration):

في المرحلة المستقبلية، يمكن دمج النظام ضمن منصات إدارة البنية التحتية للمدن الذكية ليصبح جزءاً من منظومات اتخاذ القرار الذكية في مجالات الصيانة الوقائية والتخطيط العمراني.

7. المراجع

- [1] Neville AM. *Properties of concrete*. 5th ed. Pearson Education; 2011.
- [2] Alexander M, Mindess S. *Aggregates in concrete*. Taylor & Francis; 2005.
- [3] ACI Committee 201. *Guide for conducting a visual inspection of concrete in service*. American Concrete Institute; 2008.
- [4] Anjum A, Hrairi M, Aabid A, Yatim N, Ali M. Integrating AI and statistical methods for enhancing civil structures: current trends, practical issues and future direction. 2025.
- [5] Chen C-S. Seismic performance assessments of school buildings in Taiwan using artificial intelligence theories. *Engineering Computations*. 2020;:3321–3343.
- [6] Gilbert RI. Shrinkage, cracking and deflection—the serviceability of concrete structures. *Electronic Journal of Structural Engineering*. 2001;1:2–14.
- [7] Kosmatka SH, Kerkhoff B, Panarese WC. *Design and control of concrete mixtures*. 14th ed. Portland Cement Association; 2002.
- [8] Tahir SF, et al. Decision-making framework for repair and rehabilitation of deteriorating concrete structures. *J Constr Eng Manag*. 2022;148(6).
- [9] ISO. *Bases for design of structures – assessment of existing structures (ISO 13822)*. International Organization for Standardization; 2010.
- [10] ACI Committee 201. *Guide to durable concrete (ACI 201.2R-16)*. American Concrete Institute; 2016.
- [11] Sarfarazi S, Mascolo I, Modano M, Guerracino F. Application of artificial intelligence to support design and analysis of steel structures. *Metals*. 2025;:408.
- [12] Chen C-S. Optimization of the seismic resistance of school buildings using artificial